Pисунок 2 — Зависимость остаточного содержания нефти в воде от температуры

Как видно из рисунка 1 наилучшая нефтеемкость наблюдается при t=0 °C, при этом наименьшее остаточное содержание нефти в воде оказывается при t=10 °C. При температурах 20-60 °C сорбционная емкость практически одинакова, но остаточное содержание нефти заметно увеличивается. Это связано увеличением растворимости нефти в воде при повышении температуры. Набольшая эффективность очистки наблюдается при t=10°C -99.8%, наименьшая при t=60°C -87.4%.Проведенные исследование показывают не только возможность использования березового опада в качестве нефтесорбента, но и высокую эффективность очистки поверхностных вод при различных температурных условиях, что на данный момент особенно актуально при стремительном расширении территорий добычи и транспортировки нефти.

## Список литературы:

- 1. Другов Ю.С. Экологический анализ при разливах нефти и нефтепродуктов / Ю. С. Другов, А.А. Родин. С.-Пб., 2000 250 с
- 2. Аварийные разливы нефти: средства локализации и методы ликвидации. Электронный ресурс. URL: http://www.secuteck.ru/articles2/prom\_sec/avariynie\_razlivi (дата обращения 24.03.2015)
- 3. Торочешников Н.С., Родионов А.И., Н.В.Кельцев. Техника защиты окружающей среды: Учебное пособие для вузов. М.: Химия, 1981. 368 с..
- 4. Алексеева А.А.. Применение листового опада для удаления пленки нефти с поверхности воды/А.А.Алексеева, С.В. Степанова///Вестник Казан. технол. унта. -2014. -№ 22, -с. 304-306
- 5. Лурье Ю.Ю. Аналитическая химия промышленных сточных вод/Ю.Ю. Лурье. М.: Химия, 1984. -448 с.

# Гидродинамические особенности транспорта углеводородных сред в поле действия высокополимерных присадок в трубопроводах

Дедеев П.О. dedeyev@mail.ru

Научный руководитель: д.ф.-м.н., проф., Харламов С.Н., Каф. ТХНГ ИПР НИ ТПУ

В настоящий момент распространенной практикой [9,10] является использование транспортирующими организациями полимерных материалов для наращивания пропускной способности трубопроводных систем, что вызвано тенденцией к увеличению добычи нефти и газа, загружающей ТП системы возрастающим количеством перекачиваемого сырья. Применение антитурбулентных присадок (АТП) позволяет увеличить пропускную способность без критических изменений структуры системы, причем отличительными особенностями настоящей технологии являются высокая эффективность и простота добавочных конструкций наряду со сравнительно быстрым монтажом, что обуславливает актуальность настоящей работы.

Несмотря на широкое использование АТП в сфере транспорта углеводородных жидкостей, нет единого взгляда на процессы, вызывающие увеличение пропускной

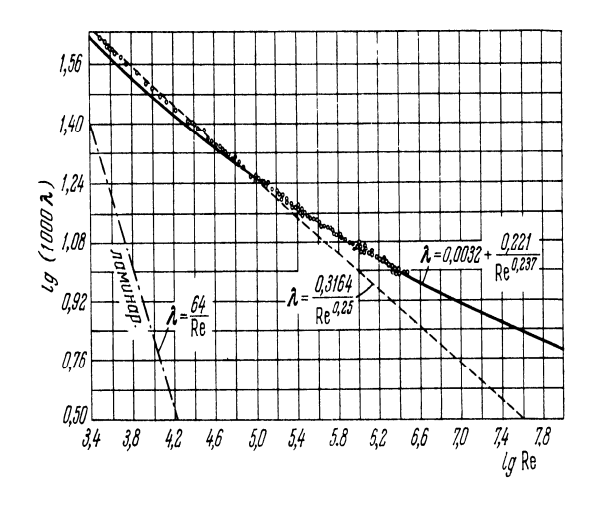
способности канала, что требует комплексного математического, физического и химического подхода, который позволит минимизировать потери энергии, а также приведёт к уяснению механизмов генерации и диссипации энергии в вихрях в вязких смесях с полимерами. Однако прежде чем касаться вопроса описания и моделирования таких "тонких" характеристик, хотелось бы внести некоторую ясность в вопрос о снижении гидравлического трения.

В связи с этим, *цель работы* состоит в: систематизации данных о снижении коэффициента гидравлического сопротивления и разработке математической модели течений углеводородов с присадками во внутренних системах.

### 2 Проблемы моделирования гидравлического сопротивления в гладких и шероховатых трубах

Интерес к применению АТП стимулируется необходимостью аккуратного применения энергии, потребляемой при транспортировке УВ в больших количествах. Эксплуатирующие организации ищут способы снижения трения на стенке ТП не только для увеличения пропускной способности, но и для недопушения образования отложений парафинов и механических частиц. Хорошо известно [1-4,6-7], что придать потоку ламинарные свойства в ТП можно в результате добавления высокомолекулярных полимерных добавок (присадок). Открытый в 1948 году эффект Томса нашел широкое применение в различных областях техники, но, несмотря на свои широкие возможности в приложениях, физико-математическая основа явления до сих пор не ясна и требуются детальные исследования течений с неоднородной анизотропной турбулентностью во внутренних системах с произвольной конфигурацией поверхности стенки. Среди спектра сопутствующих задач особое внимание следует уделить задаче о моделировании коэффициента гидравлического сопротивления в ТП.

В практических расчетах существует большое количество формул, с успехом применяемых в гидравлике для расчета и строительства ТП, определения числа насосных станций и расстановки их по трассе линейной части, и т.д. Хотелось бы обратить внимание на следующие известные формулы.



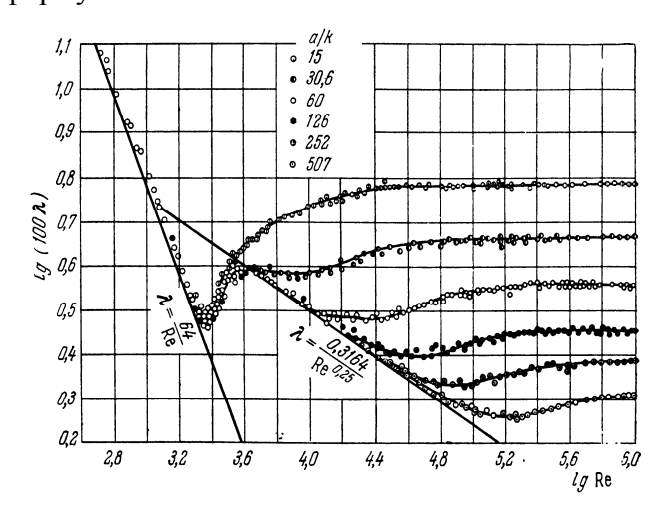


Рисунок 1. Экспериментальные и теоретические зависимости коэффициента гидравлического сопротивления λ для гладких труб. Re – критерий Рейнольдса. Построено на основании данных [8].

Рисунок 2. Экспериментальные и теоретические зависимости коэффициента гидравлического сопротивления λ для шероховатых труб. Re – критерий Рейнольдса; а – радиус трубы, мм; k – шероховатость трубы, мм. Построено на основании данных [8].

Принято считать, что для гладких труб достаточной является формула (1), которая в явном виде достаточно успешно может быть заменена на (2), в то время как для шероховатых труб удовлетворительной считается неявная зависимость (3). Обозначения общепринятые. Зависимости на Рисунке 1 показывают более чем удовлетворительную точность формулы (2), а на Рисунке 2 продемонстрирована взаимосвязь экспериментальных данных о течениях в шероховатых трубах с известными в гидравлике формулами.

$$\frac{1}{\sqrt{\lambda}} = 2\lg(\text{Re}\sqrt{\lambda}) - 0.8 \tag{1}$$

$$\lambda = 0.0032 + \frac{0.221}{\text{Re}^{0.237}} \tag{2}$$

$$3.75 + \frac{2\sqrt{2}}{\sqrt{\lambda}} - 5.75\lg\frac{a}{k} = \Phi\left(\frac{k \cdot \nu_*}{\nu}\right) \tag{3}$$

Применение формул (1) — (3) для описания движения смеси вязкой углеводородной среды-растворителя и полимерной АТП является неудовлетворительной ввиду отсутствия учета эффекта влияния АТП на трение у стенки ТП. В настоящей работе проведена попытка нахождения подходящей зависимости.

## 3 Описание гидравлического трения при движении природного сырья с введённой полимерной присадкой в ТП

При выборе модели к прогнозу снижения трения в смесях: полимер-среда следует учесть следующие предпосылки:

- АТП при добавлении в транспортируемую жидкость выступает как химически инертное вещество и не провоцирует химическую реакцию;
- Добавление АТП в принятых в промышленности концентрациях не ведёт к существенному изменению реологии транспортируемой среды;
- Процессами тепломассообмена можно пренебречь в результате совпадения температур перекачиваемой среды и АТП.

Настоящие предпосылки позволяют при модификации уравнения (1) опираться лишь на зависимости от концентрации и параметры самой присадки. Но ввиду того, что экспериментальные данные, полученные при промышленном испытании присадки FLO-X, не содержат сведений об изменении коэффициента гидравлического трения в зависимости от вариаций молекулярной массы, упругости и других параметров АТП, расчеты проводятся лишь на основе влияния концентрации.

Предполагая, что функциональное выражение, определяющее взаимосвязь концентрации и гидравлического трения, может выражаться достаточно большим количеством способов, модифицируем уравнение (1) путём введения некоторой зависимости  $\psi(C)$ , где C – концентрация присадки.

$$\frac{1}{\sqrt{\lambda}} = 2\lg e \cdot \psi(C) \ln(\text{Re}\sqrt{\lambda}) - 0.8 \tag{5}$$

Данные с промышленных испытаний присадки FLO-X [1] позволили вычислить  $\psi(C)$  для шести значений концентрации, что отображено в Табл.1.

Tаблица 1: значения  $\psi(C)$  в зависимости от концентрации присадки FLO-X

n	C, nl/m³	0	5,2	11,3	19	28,8	37,5	50
	$\Psi(C)$	0,979	1,018	1,140	1,32	1,49	1,64	1,84

В силу того, что уравнение (4) задано неявным образом, вычисление функциональных зависимостей производилось с помощью численных методов решения, а именно с помощью метода Ньютона. Математическая обработка результатов вычислений производилась в прикладных пакетах Mathcad и Maple. Полученные зависимости с вычисленными величинами достоверности аппроксимации и коэффициентами корреляции приведены в Табл.2.

Таблица 2: различные функциональные описания  $\Psi$  (C) и оценка достоверности полученных результатов

Функциональ ное описание <b>У</b> (C)	Формульное описание	Величина достоверности аппроксимаци и $\mathbb{R}^2$	Коэффици ент корреляции
Линейное	$\Psi(C) = 0.0184 \cdot C + 0.9429$	0,997	0,998
Экспоненциа льное первого типа	$\Psi(C) = 0.989 \cdot \exp(0.0131 \cdot C)$	0,978	0,989
Экспоненциа льное второго типа	$\Psi(C) = 1 - \exp\left(\frac{-18,525}{C}\right)$	0,972	0,979
Логарифмиче ское	$\Psi(C) = 0.357 \cdot \ln(C) + 0.343$	0,935	0,967
Степенное	$\Psi(C) = 0.631 \cdot C^{0.262}$	0,969	0,985

Функциональ ное описание <b>У</b> (C)	Формульное описание	Величина достоверности аппроксимаци и $\mathbb{R}^2$	Коэффици ент корреляции
Полиномное	$\Psi(C) = 1.86 \cdot 10^{-6} \cdot C^3$	0,999	0,996
	$-2,37 \cdot 10^{-4}$		
	$\cdot$ C <sup>2</sup> + 2,64		
	$\cdot10^{-2}\cdot ext{C}$		
	+ 0,8820		

особенностей учетом вышесказанного помимо детального описания гидравлического сопротивления совершенно очевидна необходимость формулировки связи между параметрами турбулентных присадок с "тонкими" параметрами перекачиваемой среды и ее реологическими математических моделях. В то же время задача о нахождении таких связей остаётся нерешённой. Соотношения, описывающие поведение зависимости  $\psi(C)$ , являются лишь частными практическими выражениями, так как не имеют под собою детальной экспериментальной базы.

#### 4 Отдельные результаты и выводы

Несмотря на экспериментальную "узость" полученных зависимостей, на их основе можно привести некоторые результаты и сделать выводы о взаимодействии АТП с перекачиваемой средой. Как можно заметить из Рис.3, наибольшую точность имеют линейная и экспоненциальная (І типа) зависимости, что подтверждается вычисленными коэффициентами корреляции (0,998 и 0,989) и достоверностью аппроксимации (0,997 и 0,978). Однако в пределе при концентрации АТП, стремящейся к нулю, экспоненциальная зависимость демонстрирует более плавный переход к случаю течения, описываемому уравнением (1), что не позволяет отбросить эту зависимость как менее значимую.

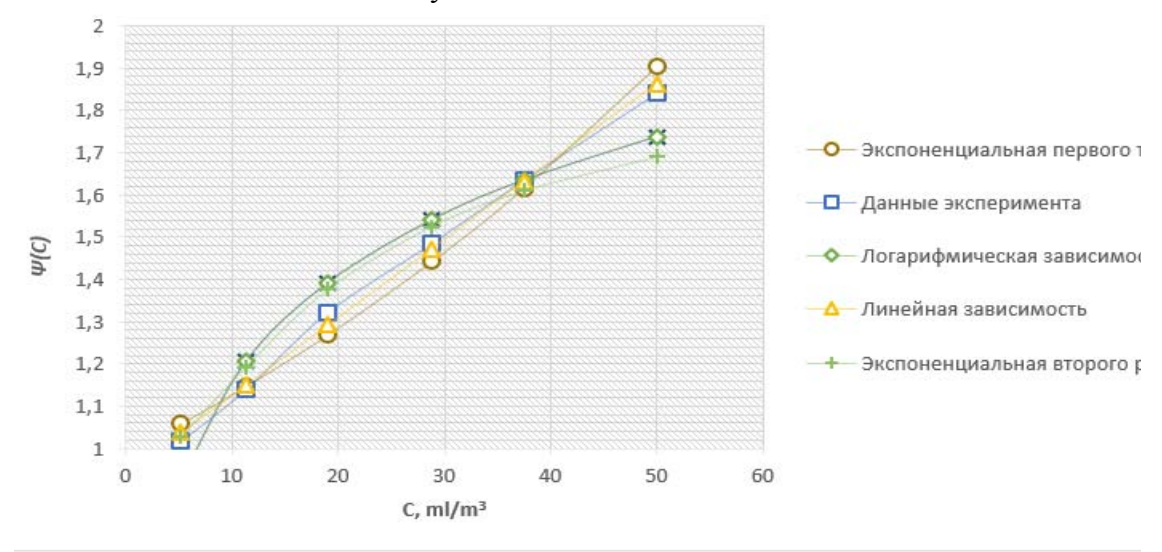


Рисунок 3. Опытные данные промышленных экспериментов, проведенных с присадкой FLO-X [1], а также зависимости, полученные в настоящей работе и описывающие  $\psi(C)$  для случая гладких труб.

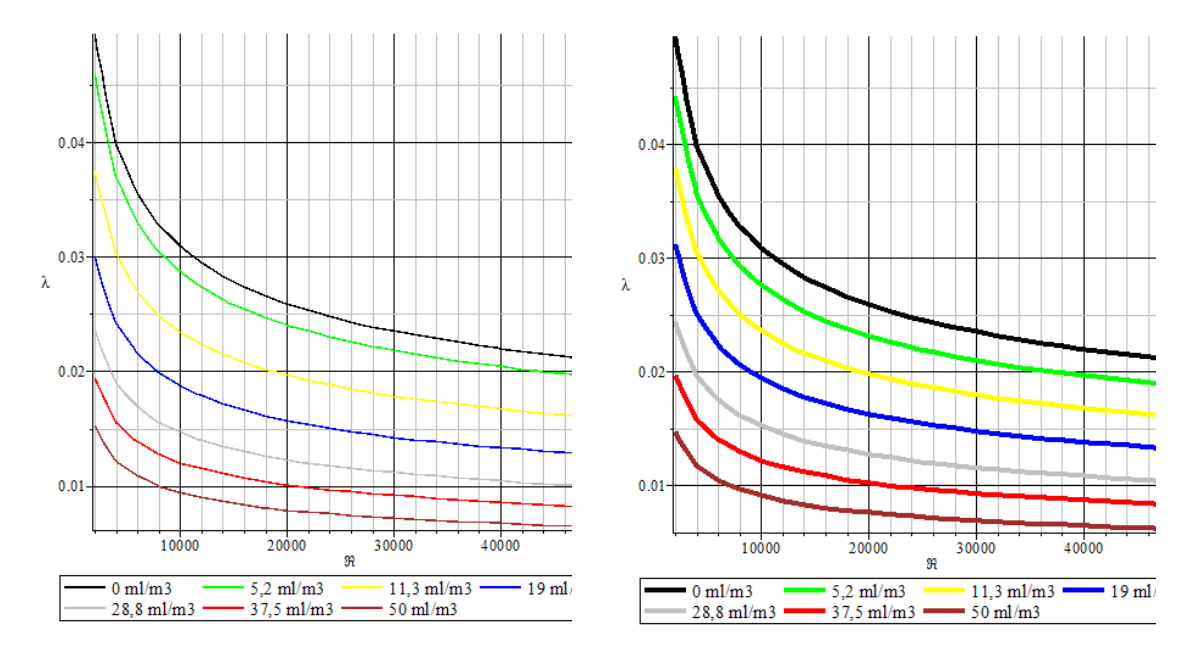


Рисунок 4. Зависимость коэффициента гидравлического сопротивления  $\lambda$  от числа Re и концентраций ATII FLO-X для случая описания  $\psi(C)$  линейной зависимостью

Рисунок 5. Зависимость коэффициента гидравлического сопротивления  $\lambda$  от числа Re и концентраций ATП FLO-X для случая описания  $\psi(C)$  экспоненциальной зависимостью I типа

Полученные зависимости демонстрируют хорошую динамику в области гидравлически гладких труб, что было изначально заложено в основу в результате выбора уравнения (1) в качестве базисного. В диапазоне чисел Re более 30000 необходим учет относительной шероховатости стенки трубопровода для более корректного описания течения.

Несмотря на ряд успехов в прогнозе переходов от турбулентной структуры к ламинарной во внутренних течениях [5], до настоящего времени не ясна полная картина процессов, происходящих в смесях вязких сред с высокомолекулярными полимерными растворами слабой концентрации. Подавляющее большинство экспериментальных исследований концентрируются на интегральных параметрах потока, игнорируя измерения таких характеристик как турбулентная вязкость, частоты пульсаций турбулентных вихрей и т.д. Совершенна очевидна необходимость проведения экспериментов с фиксацией вышеупомянутых параметров. С другой стороны, описание зависимостей коэффициента гидравлического сопротивления также требует внимания, ведь качественная функциональная зависимость позволит получить распределения профиля скорости. В связи с этим обстоятельством необходимы детальные исследования эволюции динамической структуры сдвигового потока в зависимости от изменения параметров АТП: молекулярной массы полимера, эффективной длины полимерной цепочки, упругости молекулы и её способности к демпфированию.

#### Список литературы:

- 1. Bogdevičius Marijonas, Janutėnienė Jolanta, Didžiokas Rimantas and others/ Mathematical modeling of oil transportation by pipelines using anti-turbulent additives // Journal of Vibroengineering; Mar2013, Vol. 15 Issue 1, p419.
- 2. Lumley J.F. Drag reduction by additives / J.F. Lumley // J. Fluid Mech. 1969. P. 367–384.
- 3. Toms B.A. Some observations on the flow of linear polymer solutions through straight tubes at large Reynolds numbers / B.A. Toms // In Proceedings of the 1st International Congress on Rheology. V. 2. North Holland, 1949. P. 135–141.
- 4. Богдевич В.Г., Кобец Г.Ф. и др. Некоторые вопросы управления пристенными течениями //Журнал прикладной механики и технической физики. № 5, 1980. стр. 99-109.
- 5. Бубенчиков А.М., Харламов С.Н. «Математические модели неоднородной анизотропной турбулентности во внутренних течениях». Томск: Изд-во ТГУ, 2001. 440 с.
- 6. Воскобойник В.А., Гринченков В.Т., Макаренко А.П. Снижение гидродинамических шумов растворами высокомолекулярных полимеров //Акустический вестник (Акустичний вісник, укр.), 10, № 2, с. 33-42 (2007).
- 7. Корнилов В.И. Проблемы снижения турбулентного трения активными и пассивными методами (обзор) // Теплофизика и аэромеханика, 2005, №2, стр.183-208
- 8. Лойцянский Л.Г. Механика жидкости и газа: Учеб. для вузов. 7-е изд., испр. М.: Дрофа, 2003. 840 с.
- 9. Рахматуллин Ш.И. О турбулентном течении слабоконцентрированных растворов полимеров в трубопроводах / Ш.И. Рахматуллин, М.М. Гареев, Д.П. Ким // Нефтегазовое дело. 2005. [Электронный журнал]. Режим доступа: http://www.ogbus.ru/authors/Rahmatullin/ Rahmatullin 1.pdf Загл. с экрана.
- 10. Тарасов М.Ю., Южаков И.С., Классен В.В. Промысловые исследование антитурбулентных присадок для повышения пропускной способности нефтепроводов, транспортирующих тяжелые нефти/ Нефтяное хозяйство, трубопроводный транспорт нефти: 10/2011, стр.117-119.

# Минералого-петрогеохимические черты мафит-ультрамафитовых массивов нижнедебинского комплекса Восточного Саяна как критерии их формационной принадлежности и металлогенической специализации

## Дудко А.А. tomasstik@yandex.ru

Научный руководитель: к.г.-м.н., доцент Черкасова Т.Ю., Национальный исследовательский Томский политехнический университет, г. Томск, Россия

**Введение.** Актуальность и необходимость исследований мафит-ультрамафитовых комплексов, являющихся одним из основных источников добычи платиновых металлов, а также концентрирующих в себе широкий спектр полезных ископаемых, главным образом, никеля и меди, определяется необходимостью познания особенностей их структурной и вещественной организации. Тела ультрамафитов